

## Oscillateur conservatif linéaire à un degré de liberté

1

1.1

$$\ddot{q} + \omega_0^2 q = 0$$

$$\omega_0 = 2\pi$$

$$q_0 = 1$$

$$\dot{q} = 0$$

$$q = A \sin(\omega_0 t) + B \cos(\omega_0 t)$$

$$q = \cos(2\pi t)$$

1.2

$$E^* = \frac{1}{2}(\dot{q}^2 + \omega_0^2 q^2)$$

$$E^* = \frac{1}{2}[4\pi^2 \sin^2(2\pi t) + 4\pi^2 \cos^2(2\pi t)]$$

$$E^* = 2\pi^2$$

2

2.1

$$\begin{cases} q_{j+1} \\ \dot{q}_{j+1} \end{cases} = \begin{cases} q_j \\ \dot{q}_j \end{cases} + \Delta t \times \begin{cases} \dot{q}_j \\ \ddot{q}_j \end{cases}$$

$$\begin{cases} q_{j+1} = q_j + \Delta t \times \dot{q}_j \\ \dot{q}_{j+1} = \dot{q}_j + \Delta t \times \ddot{q}_j \end{cases} \text{ avec } \ddot{q}_j = -\omega_0^2 q_j$$

$$\text{On a } \begin{cases} q_{j+1} = q_j + \Delta t \times \dot{q}_j \\ \dot{q}_{j+1} = -\omega_0^2 \Delta t q_j + \dot{q}_j \end{cases}$$

$$\text{Donc } \begin{cases} q_{j+1} \\ \dot{q}_{j+1} \end{cases} = \begin{bmatrix} 1 & \Delta t \\ -\omega_0^2 \Delta t & 1 \end{bmatrix} \begin{cases} q_j \\ \dot{q}_j \end{cases}$$

2.2

```
clear all;
```

```
w0=2*pi;
```

```
q0=1;
dq0=0;
T0=3;
n=5000;
dt=T0/n;
t=0:dt:T0;
%Euler Explicite
A=[1 dt;-w0*w0*dt 1];
U(:,1)=[q0;dq0];
for i=1:n-1
    U(:,i+1)=A*U(:,i);
end
plot(1:n,U(1,:))
```

2.3

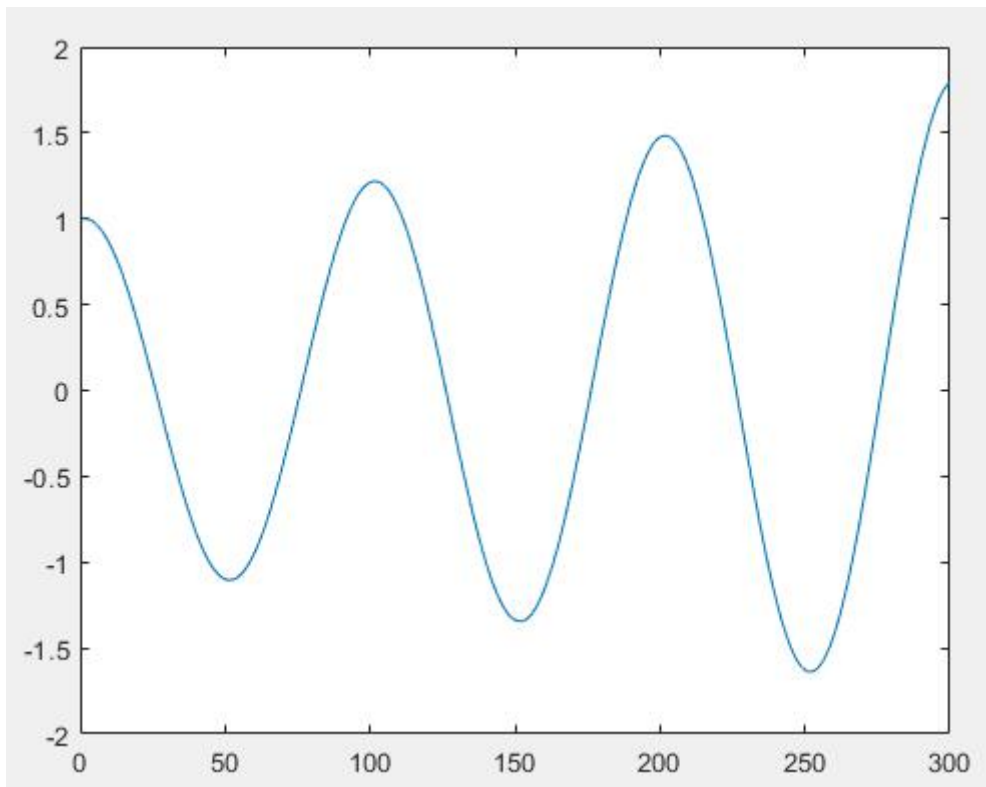


图 1 n=300

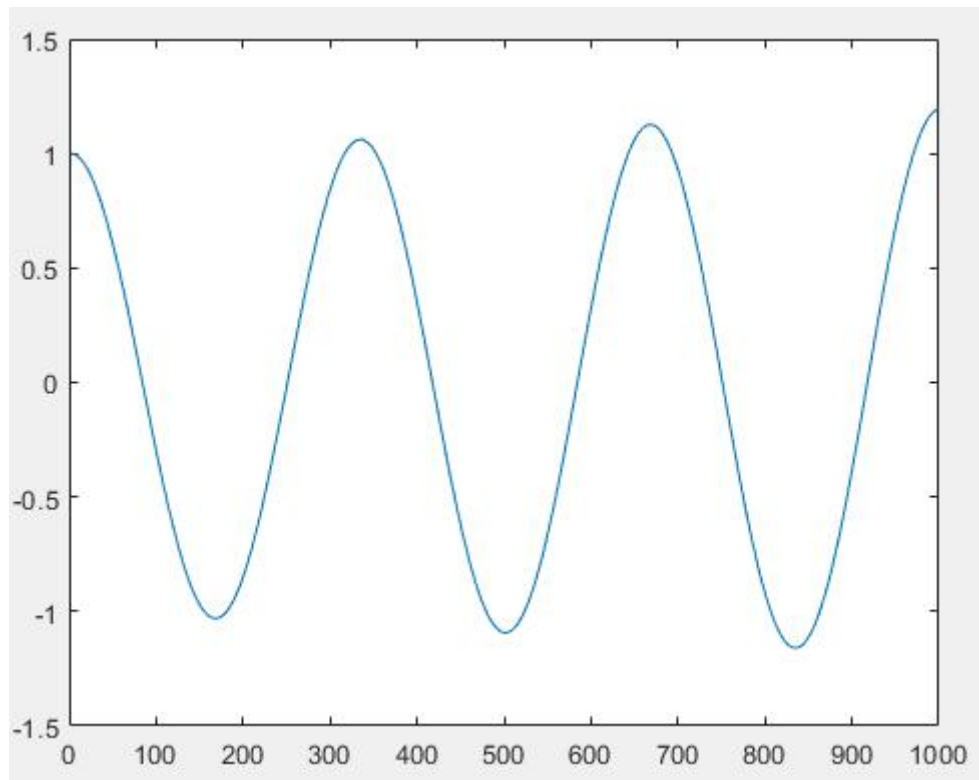


图 2  $n=1000$

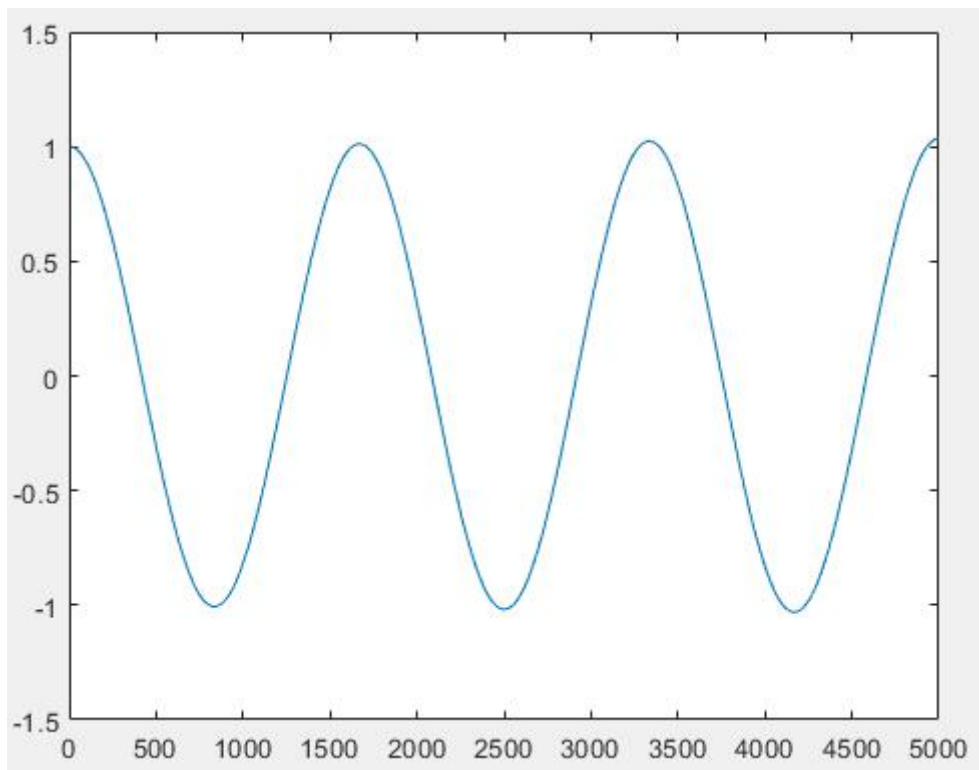


图 3  $n=5000$

Donc, on peut voir que plus le pas de temps  $\Delta t$  est petit, plus la divergence est lente.

2.4

```
for j=1:n
    Eexplicite(j)=0.5*(U(2,j)*U(2,j)+4*pi*pi*U(1,j)*U(1,j));
end
% plot(1:n,Eexplicite)
title('Eexplicite')
```

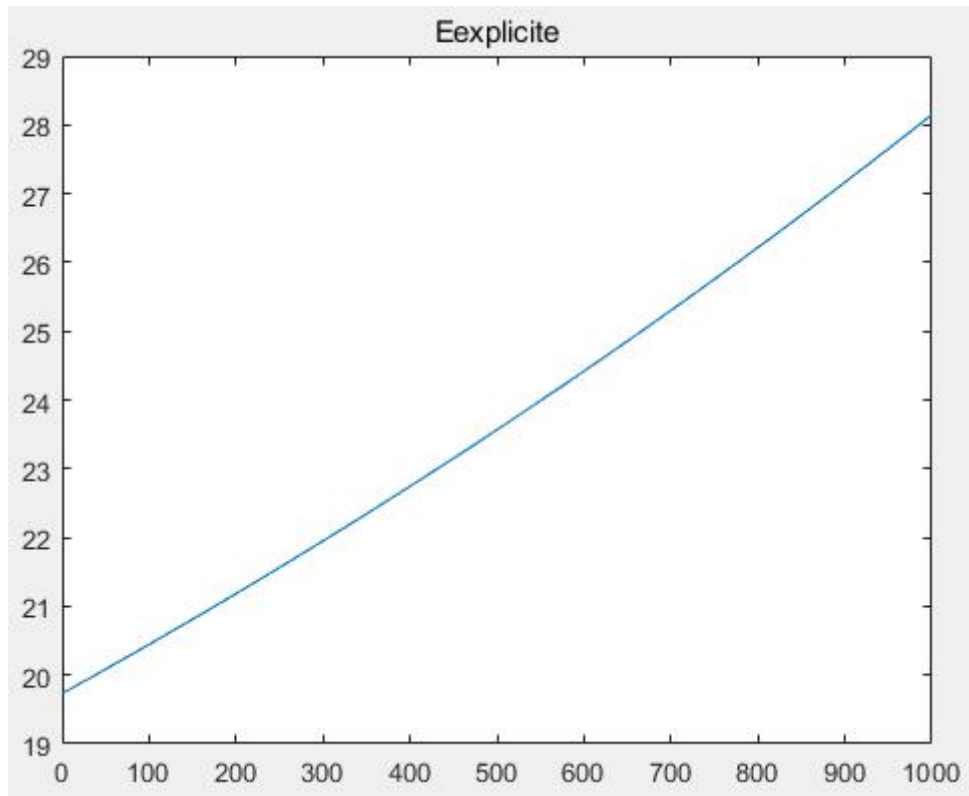


图 4 E(n=1000)

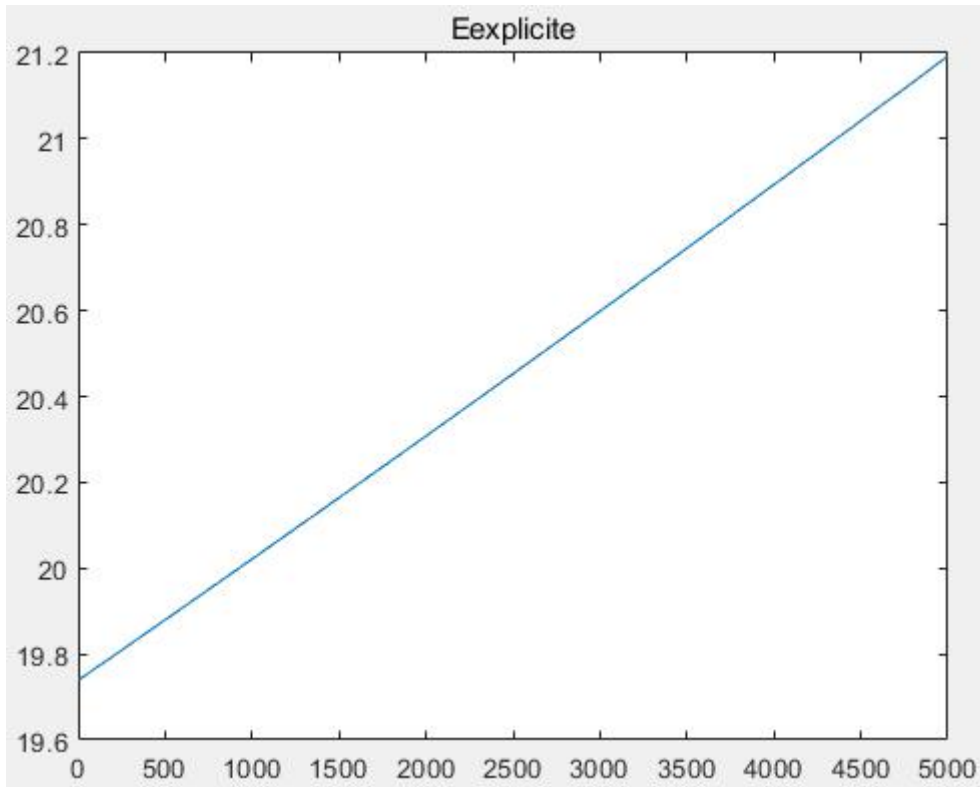


图 5 E(n=5000)

Comparer avec la solution exacte :  $E^* = 2\pi^2 = 19.74$ , ce résultat diverge.

Donc, on peut voir que plus le pas de temps  $\Delta t$  est petit, plus la réponse est correcte.

2.5

$$A = \begin{bmatrix} 1 & \Delta t \\ -\omega_0^2 \Delta t & 1 \end{bmatrix}$$

$$\det(\lambda I - A) = \begin{vmatrix} \lambda - 1 & -\Delta t \\ \omega_0^2 \Delta t & \lambda - 1 \end{vmatrix} = \lambda^2 - 2\lambda + 1 + \omega^2 \Delta t^2 = 0$$

$$\lambda = \frac{2 \pm \omega_0 \Delta t i}{2}$$

On a

Les modules des deux valeurs propres sont supérieures à 1, donc il est instable.

3

3.1

```
%Euler Implicite
A2 = inv([1, -dt; w0*w0*dt, 1]);
U2(:, 1) = [q0; dq0];
for i=1:n-1
    U2(:, i+1) = A2*U2(:, i);
end
```

```
plot(1:n,U2(1,:))
```

3.2

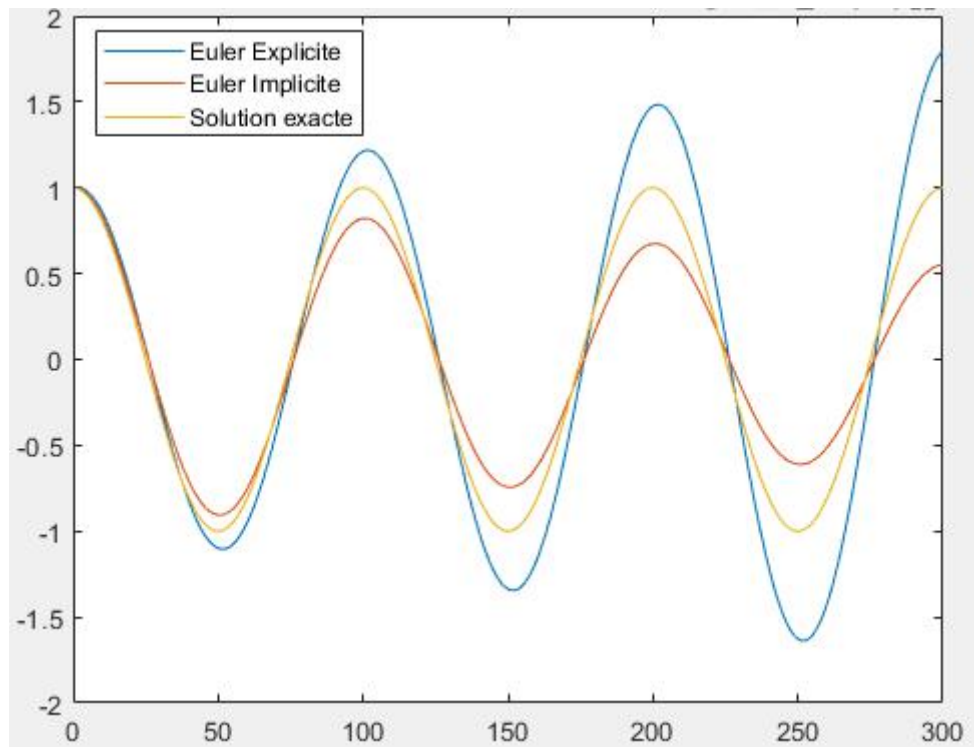


图 6

On peut voir que Euler Explicite diverge et Euler Implicite converge.

3.3

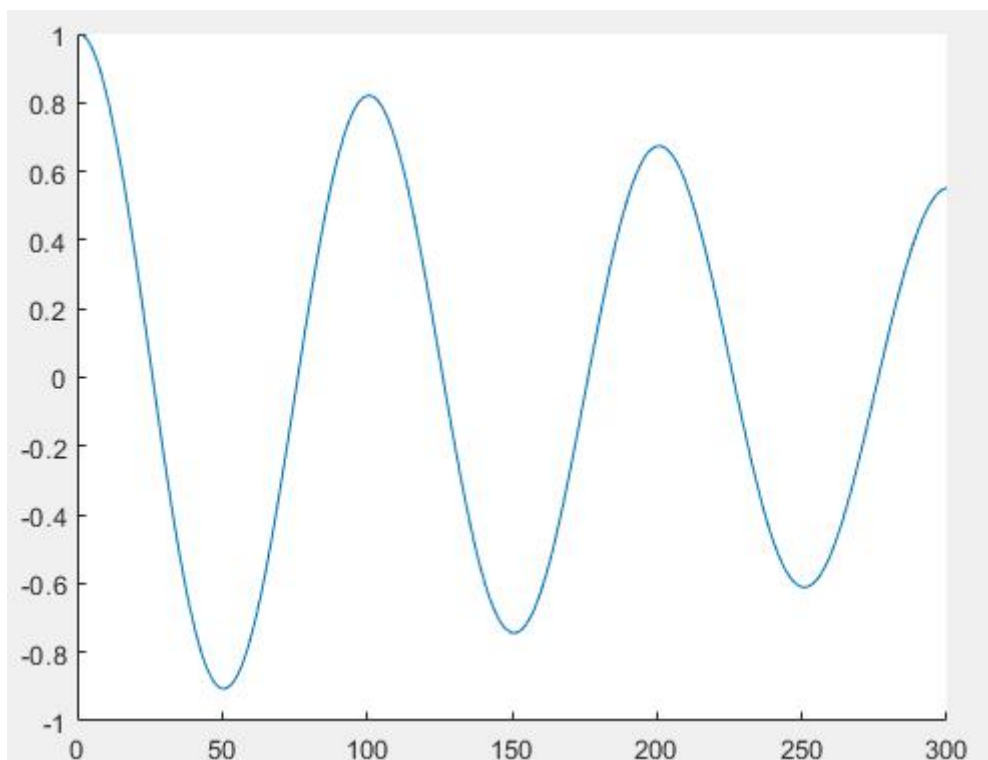


图 7 n=300

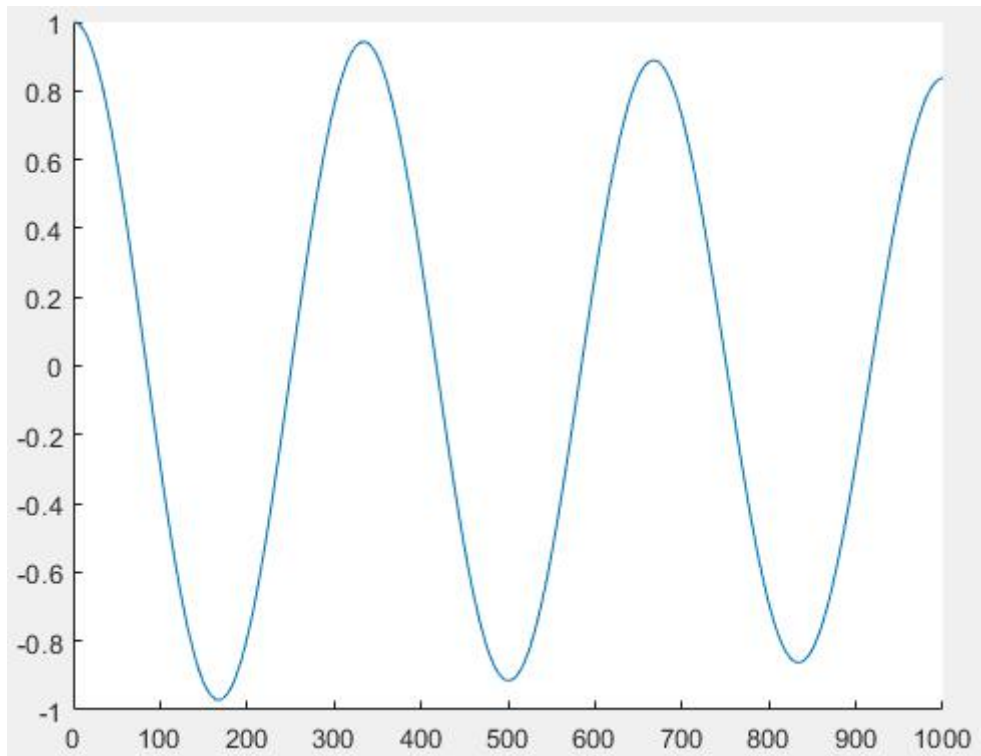


图 8 n=1000

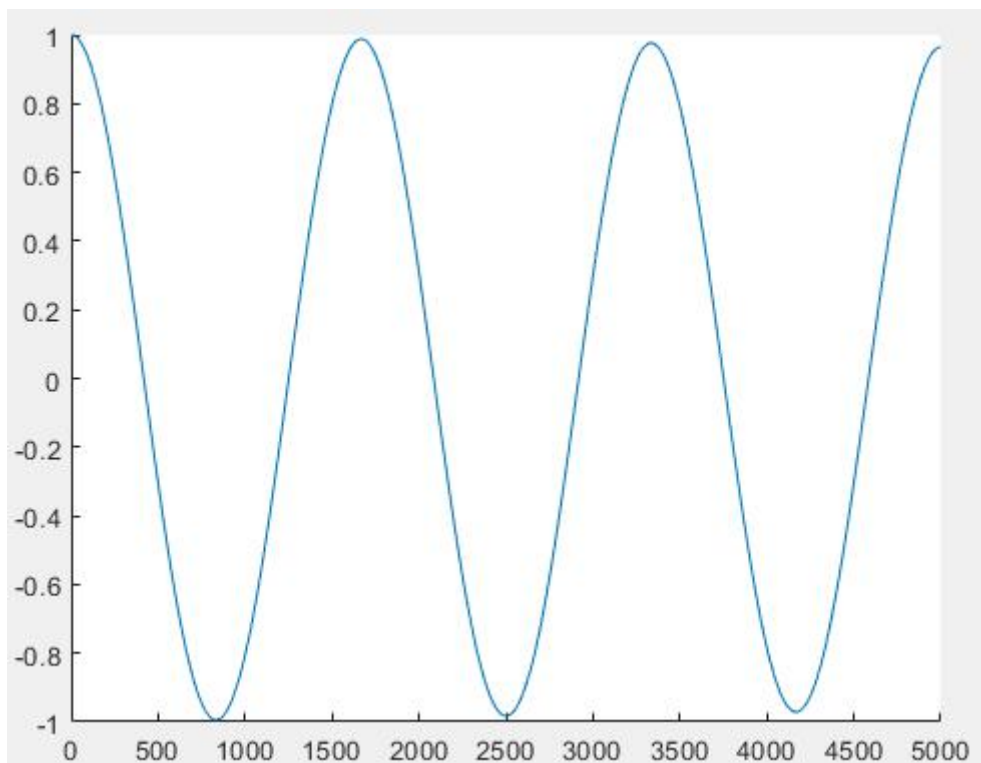


图 9 n=5000

On peut voir que plus le pas de temps  $\Delta t$  est petit, plus l'atténuation des oscillations est faible.

3.4

```
for j=1:n
    Eexplicite(j)=0.5*(U(2,j)*U(2,j)+4*pi*pi*U(1,j)*U(1,j));
end
plot(1:n,Eexplicite)
hold on;
for j=1:n
    Eimplicite(j)=0.5*((U2(2,j))^2+4*pi*pi*(U2(1,j))^2);
end
plot(1:n,Eimplicite)
hold on;
plot([0,5000],[2*pi*pi,2*pi*pi])
legend('Eexplicite','Eimplicite','Eexacte')
```

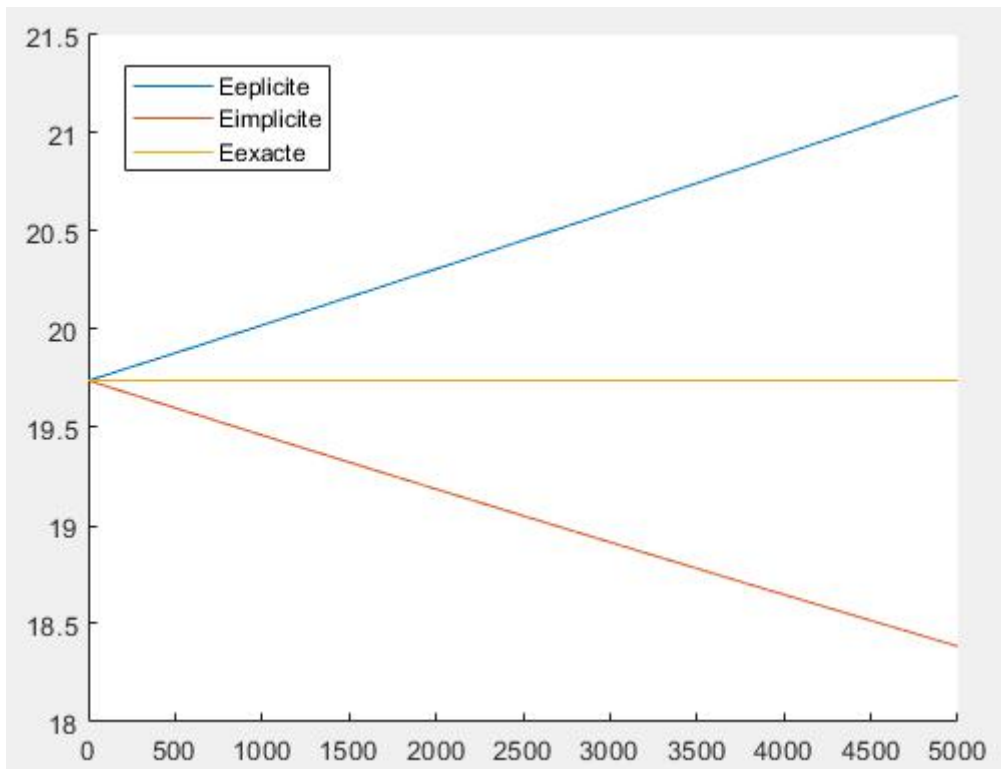


图 10 n=5000



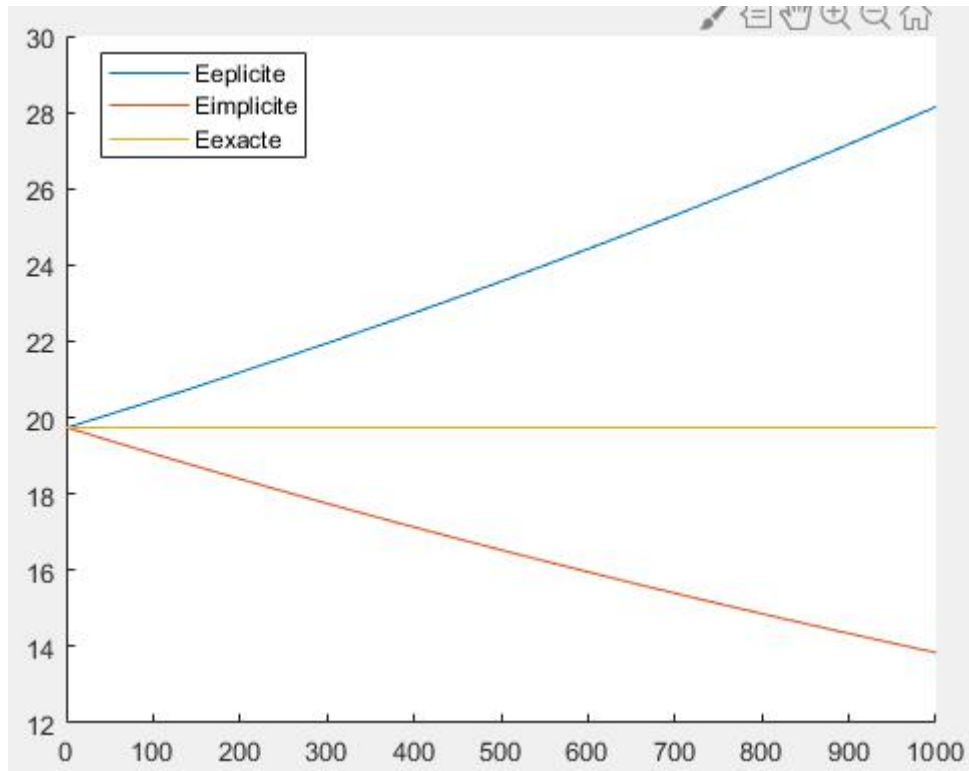


图 11 n=1000

On peut voir que la valeur de  $E^*$  de Euler Implicite diminue et de Euler Explicite augmente.

Donc, plus  $\Delta t$  est petit, plus la simulation est précis.

### 3.5

`[x,y]=eig(A2)`

`y =`

`0.9996 + 0.0188i`

`0.9996 - 0.0188i`

`abs(y(1,1))`

`ans =`

`0.9980 < 1`

Les valeurs propres de la matrice d'amplification sont de module inférieur à 1, donc il est stable.

### 4

#### 4.1

$$\ddot{q} + \omega_0^2 q = 0$$

$$\begin{cases} q_{j+1} = q_j + \Delta t \times \dot{q}_j \\ \dot{q}_{j+1} = \dot{q}_j + \Delta t \times \ddot{q}_{j+1} \end{cases}$$

$$\text{Donc, on a } \begin{pmatrix} q_{j+1} \\ \dot{q}_{j+1} \end{pmatrix} = \begin{pmatrix} q_j \\ \dot{q}_j \end{pmatrix} + \Delta t \begin{bmatrix} 0 & 1 \\ -\omega_0^2 & 0 \end{bmatrix} \begin{pmatrix} q_j \\ \dot{q}_j \end{pmatrix}$$

4.2

```
%Runge Kutta
A3=[0,1;-w0*w0,0];
U3(:,1)=[q0;dq0];
for i=1:n-1
    k1=A3*U3(:,i);
    k2=A3*(U3(:,i)+0.5*dt*k1);
    k3=A3*(U3(:,i)+0.5*dt*k2);
    k4=A3*(U3(:,i)+dt*k3);
    U3(:,i+1)=U3(:,i)+1/6*dt*(k1+2*k2+2*k3+k4);
end
plot(1:n,U3(1,:))
```

4.3

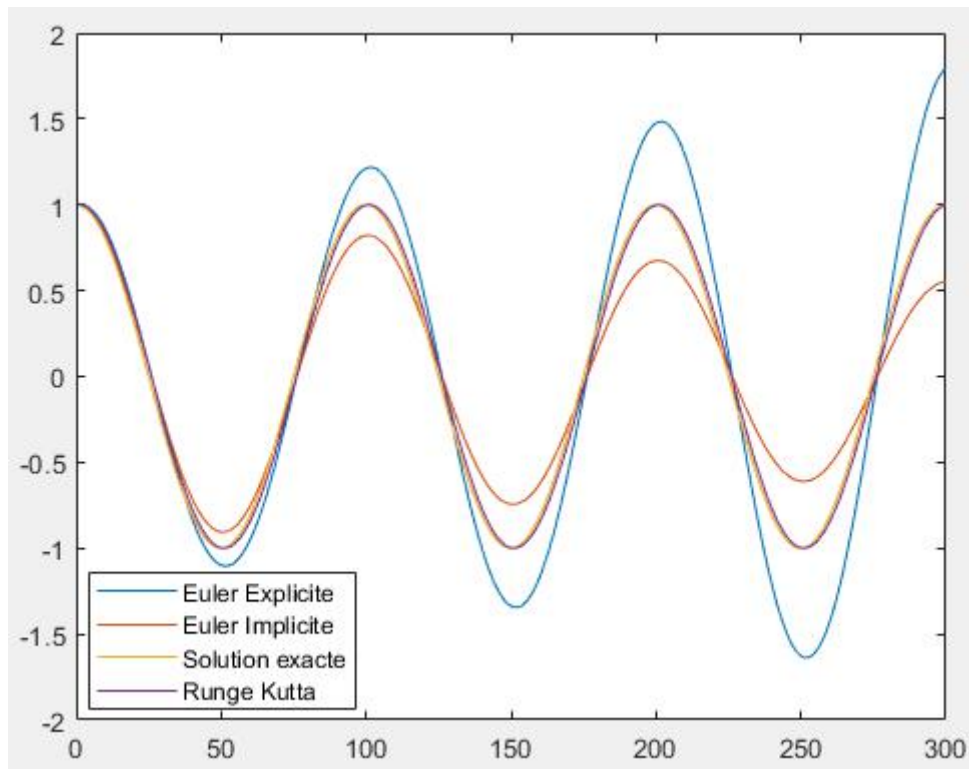


图 12

On peut voir que la méthode de Runge Kutta d'ordre 4 est plus précise par rapport à la solution exacte.

4.4

```
for j=1:n
    Eexplicite(j)=0.5*(U(2,j)*U(2,j)+4*pi*pi*U(1,j)*U(1,j));
end
plot(1:n,Eexplicite)
```

```

hold on;
for j=1:n
    Eimplicite(j)=0.5*((U2(2,j))^2+4*pi*pi*(U2(1,j))^2);
end
plot(1:n,Eimplicite)
hold on;
plot([0,300],[2*pi*pi,2*pi*pi])
hold on;
for j=1:n
    Erungekutta(j)=0.5*((U3(2,j))^2+4*pi*pi*(U3(1,j))^2);
end
plot(1:n,Erungekutta)
legend('Euler Explicite', 'Euler Implicite', 'Solution
exacte', 'Erungekutta')

```

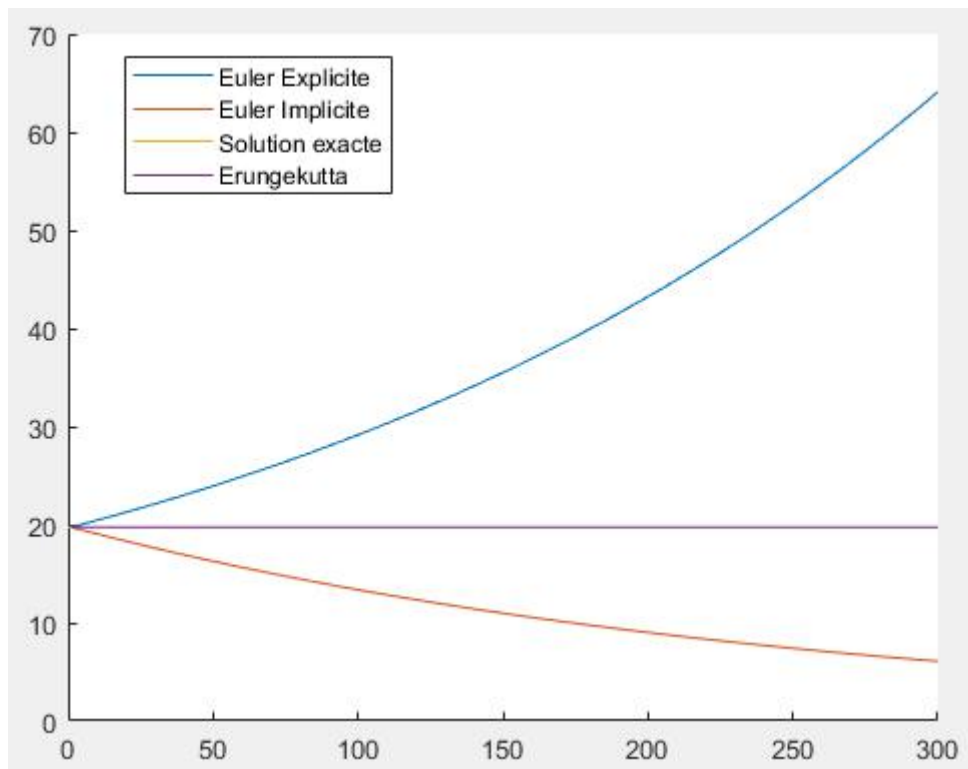


图 13

On peut voir que la quantité  $E^*$  de Runge Kutta d'ordre 4 est la plus précis.

5

5.1

5.1.1

```

%NEWMARK
gama=0.5;
beta=0.25;
B=[1+beta*dt*dt*w0*w0,0;gama*dt*w0*w0,1];

```

```

C=[1-(0.5-beta)*dt*dt*w0*w0,dt;-(1-gama)*dt*w0*w0,1];
A4=inv(B)*C;
U4(:,1)=[q0;dq0];
for i=1:n-1
    U4(:,i+1)=A4*U4(:,i);
end
plot(1:n,U4(1,:))

```

### 5.1.2

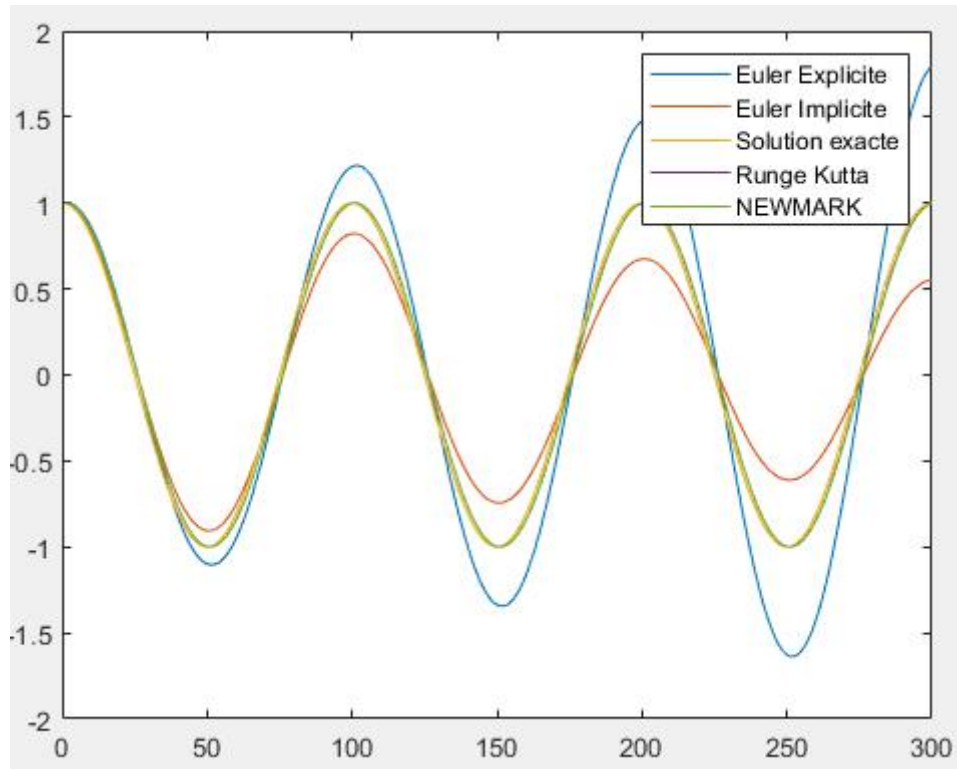


图 14

On peut voir que la méthode de NEWMARK est très précise.

### 5.1.3

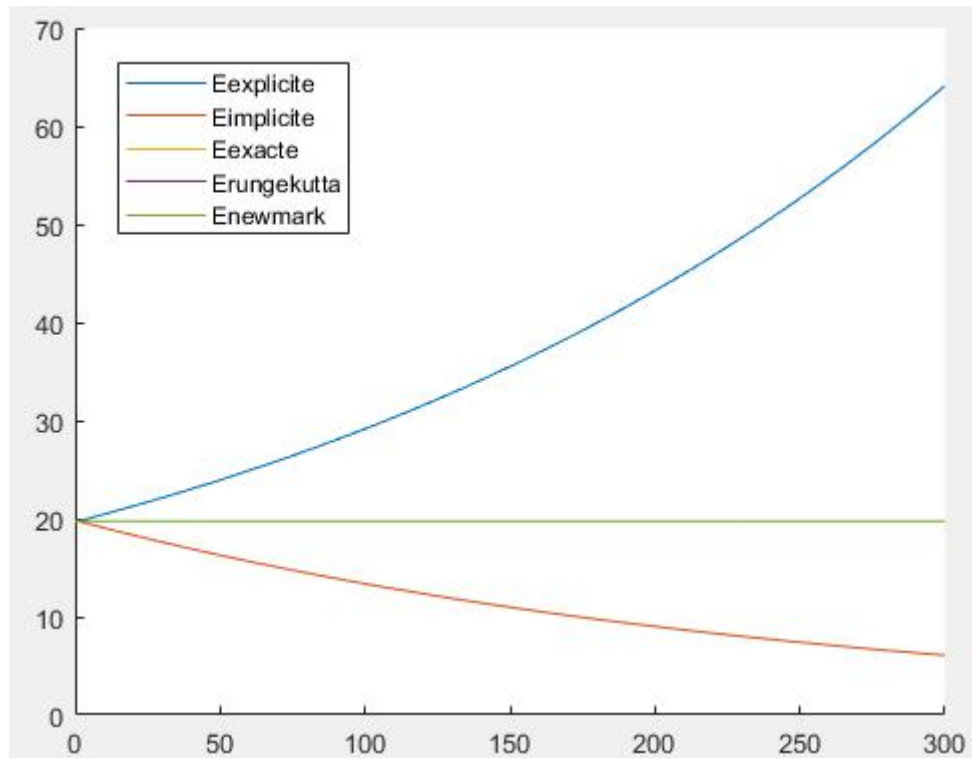


图 15

On peut voir que la méthode de NEWMARK est très précise.

#### 5.1.4

```
[x,y]=eig(A4)
```

```
y =
```

```
0.9980 + 0.0628i    0.0000 + 0.0000i
```

```
0.0000 + 0.0000i    0.9980 - 0.0628i
```

```
abs(y(1,1))
```

```
ans =1
```

Donc, il est stable.

## 5.2

### 5.2.1

```
%NEWMARK
```

```
gama=0.5;
```

```
beta=0;
```

```
B=[1+beta*dt*dt*w0*w0,0;gama*dt*w0*w0,1];
```

```
C=[1-(0.5-beta)*dt*dt*w0*w0,dt;-(1-gama)*dt*w0*w0,1];
```

```
A4=inv(B)*C;
```

```
U4(:,1)=[q0;dq0];
```

```
for i=1:n-1
```

```
    U4(:,i+1)=A4*U4(:,i);
```

```
end
```

```
plot(1:n,U4(1,:))
```

5.2.2

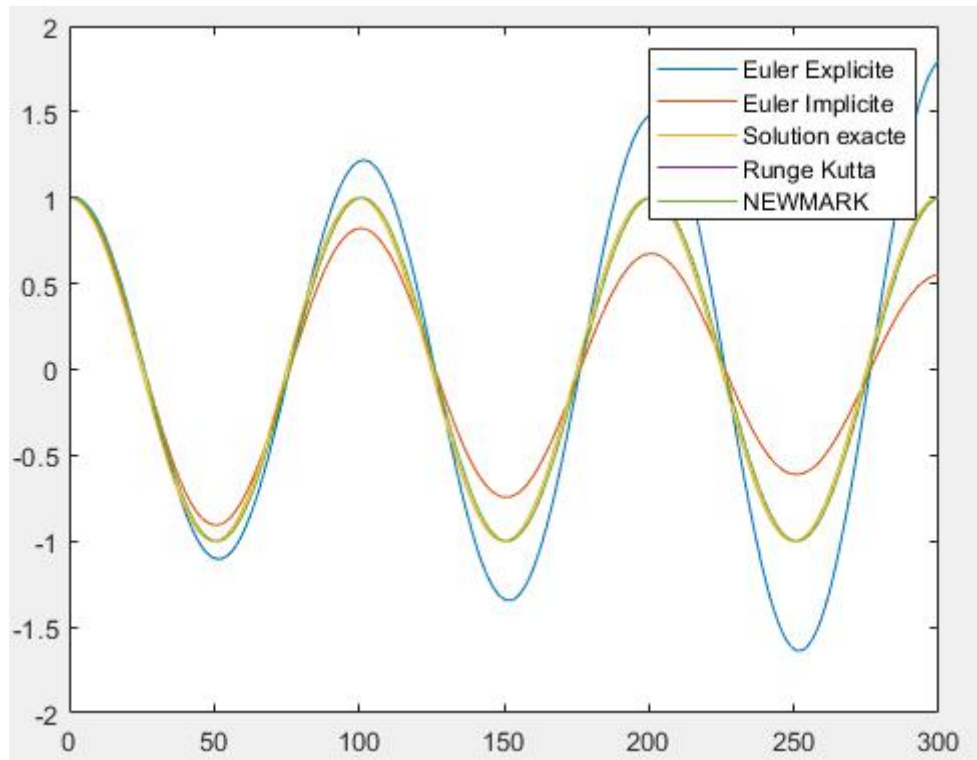


图 16

5.2.3

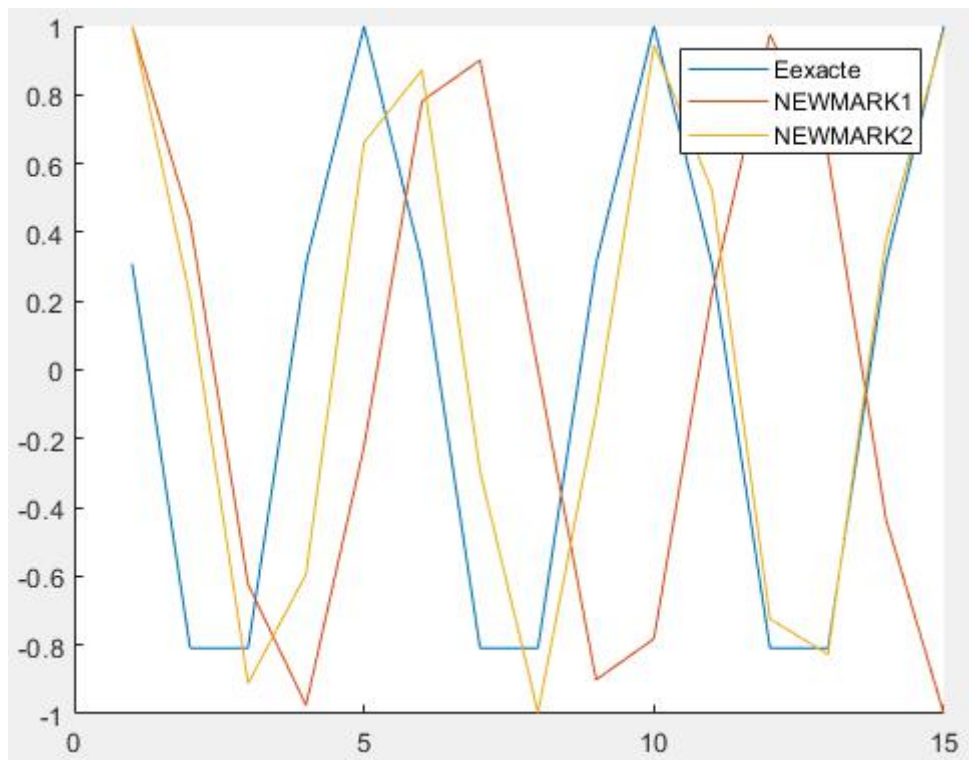


图 17  $\Delta t = 0.2s$

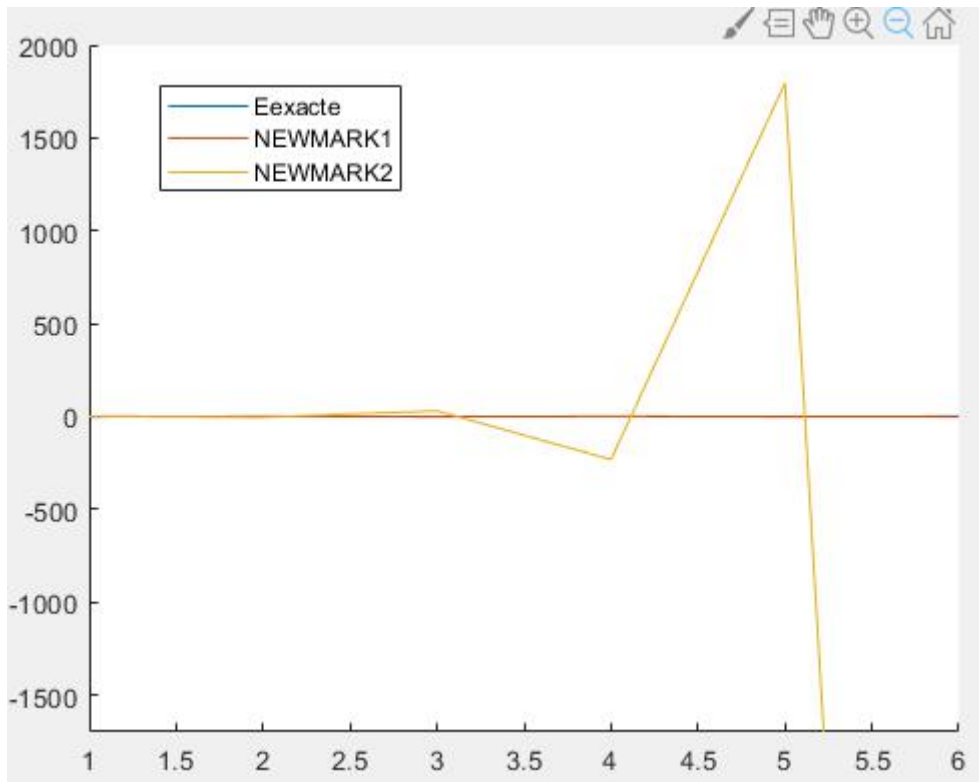


图 18  $\Delta t = 0.5s$

Quand  $\Delta t$  est très grand, il diverge.

#### 5.2.4

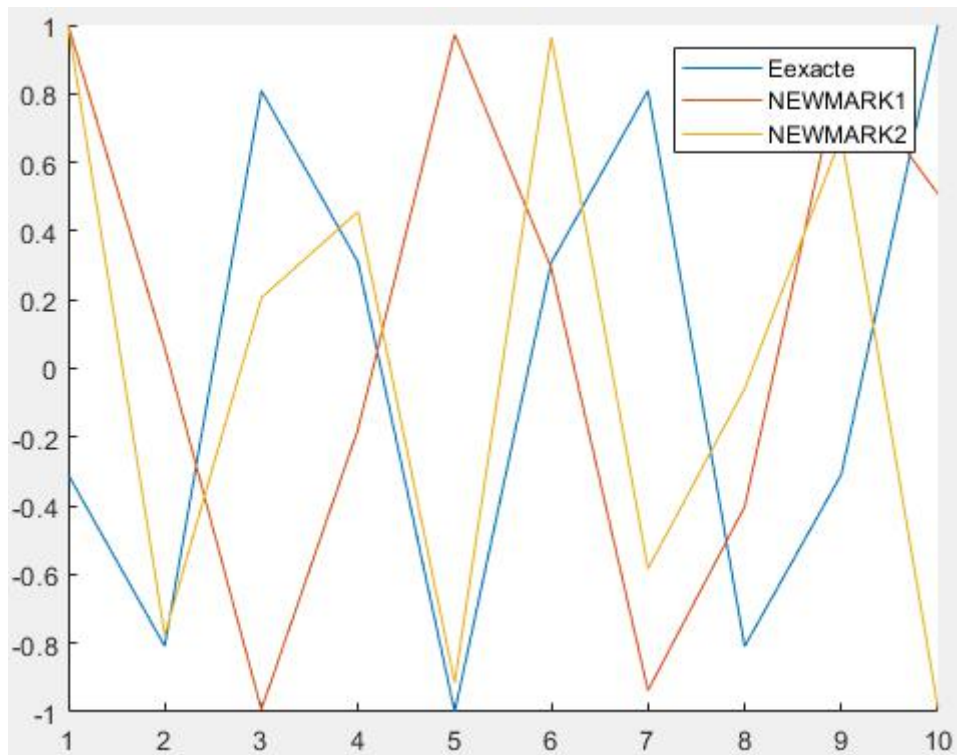


图 19  $\Delta t = 0.3s$

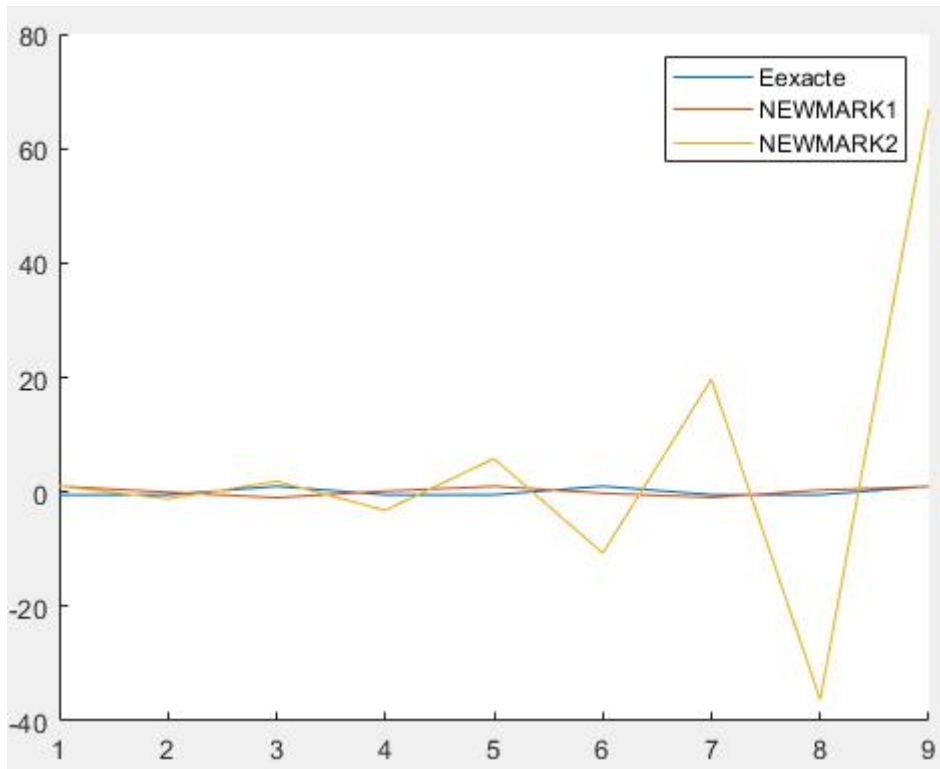


图 20  $\Delta t = 1/3s$

Y =

$$\begin{pmatrix} -1.8443 & 0 \\ 0 & -0.5422 \end{pmatrix}$$

ans =

$$1.8443$$

Quand on choisi  $\Delta t = 1/3s$ , la module de valeur propre est 1.8, supérieur à 1.

Y =

$$\begin{pmatrix} -0.7765 + 0.6301i & 0.0000 + 0.0000i \\ 0.0000 + 0.0000i & -0.7765 - 0.6301i \end{pmatrix}$$

ans =

$$1.0000$$

Quand on choisi  $\Delta t = 0.3s$ , la module de valeur propre est 1.

Donc, le pas de temps critique est 0.3s

$$\Delta t = \alpha \times \frac{2}{\omega_0}$$

$$\alpha = \frac{\Delta t \times \omega_0}{2} = 0.942$$